

Гофрированные облегченные двутавровые

SIN - Балки



Представительство Zeman Bauelemente GmbH в России:

+7 (499) 703-37-80
msk@zebau.com

www.zebau.ru



Оборудование и продукция компании сертифицированы
по системе управления качеством ISO 9001.

ГОФРИРОВАННЫЕ ДВУТАВРЫ – SIN-БАЛКИ РЕВОЛЮЦИЯ В СТРОИТЕЛЬНОЙ ПРОМЫШЛЕННОСТИ

Линия для производства двутавровых SIN-балок

ZEMAN – наиболее известная австрийская компания по производству строительных металлоконструкций.

Первыми в мире специалисты ZEMAN создали полностью автоматизированную линию по производству сварных двутавровых SIN-балок с полным компьютерным контролем технологического процесса.

Новейшие разработки, внедренные в этой линии, позволяют дешево и быстро (скорость выхода готового изделия около 1 м/мин.) производить SIN-балки высотой от 0,3 до 1,5 м., в том числе и SIN-балки переменного сечения.

Внедрение в строительство изделий этой линии позволяет в среднем на 30% уменьшить металлоемкость строительных конструкций, снизить монтажные и транспортные затраты, добиться недостижимых для конкурентов сроков проектирования, поставки и монтажа.

Из-за малого собственного веса SIN-балки позволяют перекрывать пролеты до 60м для всех географических зон.

Эти свойства дают Вам неоспоримое конкурентное преимущество по всем составляющим формулы успеха:

Уровень удовлетворения клиента - это цены, умноженные на сроки.

ТЕХНИЧЕСКАЯ ДОКУМЕНТАЦИЯ

A. ОСНОВНЫЕ ПОЛОЖЕНИЯ

1. Общий вид и область применения

SIN-балки (от латинского *sinus* – изгиб) – это сварные двутавровые конструкции составного сечения с гофрированной (волнистой) стенкой и широкими поясами (полками), выполненными из плоского листа (рис.1).

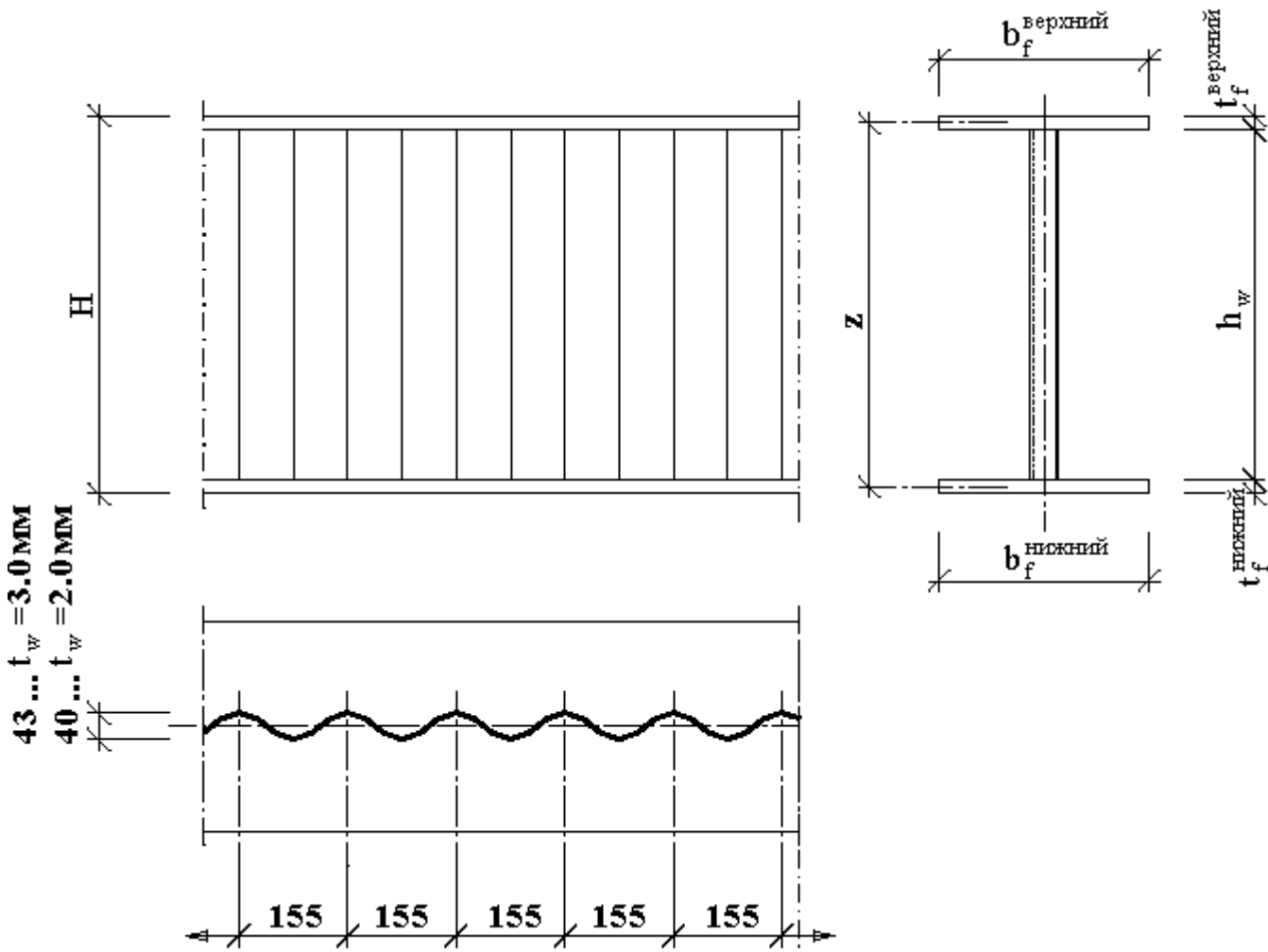


Рис. 1. SIN-балка - размеры и обозначения.

Известно, что профилирование широко используется для повышения жесткости пластинок. Основным преимуществом использования технологии производства SIN-балок является увеличение местной устойчивости гофрированной стенки при ее работе на срез по сравнению с плоскими стенками двутавров.

Такие конструкции могут использоваться вместо обычных двутавровых профилей почти без ограничений. Оптимальная область применения находится в области несущих стальных конструкций, где обычно используются прокатные профили высотой более 450 мм и сварные или решетчатые ригели высотой ниже 1800 мм.

Типовые решения приведены в Приложении А

2. Параметры типовых изделий

Стандартные SIN-балки имеют двутавровое сечение, которое состоит из волнистой стенки и поясов одинакового размера.

Параметры волнистой стенки:

Высота: 333, 500, 625, 750, 1 000, 1 250, 1 500 мм

Толщина: 2.0; 2.5; 3.0 мм, в новых линиях дополнительно 4, 5, 6 мм.

Пояса:

min ширина = 200 мм max ширина = 430 мм

min толщина = 10 мм max толщина = 30 мм

Длина отправочных элементов:

min 6,000 мм

max 20,000 мм

Максимальные размеры изготавливаемых балок:

См. детали конструкций, Пункты 1.3 и 1.4 (Приложение С).

Обозначение размеров изделий:

WTB 1000 – 300 x 15		
WTB	— обозначение толщины стенки	A 2 мм B 2,5 мм C 3 мм
1000	— высота стенки, мм	
300	— ширина пояса, мм	
15	— толщина пояса, мм	

Нетиповые конструкции с любой нестандартной высотой и/или разными размерами верхнего и нижнего пояса изготавливаются по пожеланиям заказчика.

Обозначение такого типа конструкций: **WTS**.

Например: WTS 1250 – 300 x 15 / 300 x 12

Возможно производство балок переменного сечения.

Пример обозначения: WTB 1000/500 – 300 x 15

Б. ОСНОВЫ РАСЧЕТА

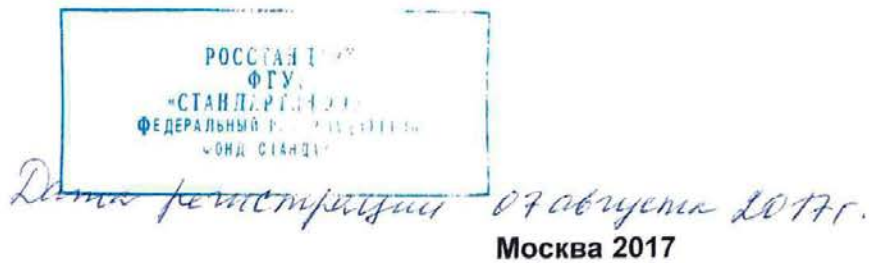
МИНИСТЕРСТВО СТРОИТЕЛЬСТВА
И ЖИЛИЩНО-КОММУНАЛЬНОГО ХОЗЯЙСТВА
РОССИЙСКОЙ ФЕДЕРАЦИИ

СВОД ПРАВИЛ

СП 1325800.2017

КОНСТРУКЦИИ СТАЛЬНЫЕ ПРАВИЛА ПРОЕКТИРОВАНИЯ

Издание официальное



В НАБОР

Введение

Настоящий свод правил составлен с целью повышения уровня безопасности людей в зданиях и сооружениях и сохранности материальных ценностей в соответствии с Федеральным законом от 30 декабря 2009 г. № 384-ФЗ «Технический регламент о безопасности зданий и сооружений», повышения уровня гармонизации нормативных требований с европейскими и международными нормативными документами, применения единых методов определения эксплуатационных характеристик и методов оценки.

Настоящий свод правил разработан АО «НИЦ «Строительство» - ЦНИИСК им. В.А. Кучеренко в составе специалистов: д-ра техн. наук: *И.И. Ведяков, П.Д. Одесский, П.Г. Еремеев*; кандидаты техн. наук: *М.И. Гукова, Д.В. Конин, Е.Р. Мацелинский, М.Р. Урицкий, М.И. Фарфель, Б.С. Цетлин, инж. С. В. Гуров*; ООО «ЦНИИПСК им. Мельникова» (канд. техн. наук Э.Л. Айрумян); НИУ МГСУ (д-р техн. наук *А.Р. Туснин*); ЗАО "Эркон" (д-р техн. наук, профессор *Г.И. Белый*); КГТУ (д-р техн. наук *А.И. Притыкин*); при участии канд. техн. наук *А.А. Нилова, А.Я. Мартынюка, М.В. Лазюка*.

20.6 Элементы двутаврового сечения с гофрированной стенкой

20.6.1 Общие положения

20.6.1.1 В элементах двутаврового сечения для повышения их устойчивости и снижения металлоемкости используют поперечно-гофрированные стенки. Гофрированные стенки могут состоять из трапецидальных, треугольных или волнистых гофров.

Конструкции из двутавров с гофрированной стенкой, в том числе и бистальные, относятся к 1-му классу (согласно 8.1 СП 16.13330) и рассчитываются в пределах упругих деформаций.

Расчетными параметрами сложного двутаврового сечения с волнистой (синусоидальной) поперечно-гофрированной стенкой (рисунок 49) являются: a_s – шаг гофра; h_{ef} – расчетная высота стенки, которая равняется в сварных балках с гофрированной стенкой полной высоте стенки – h_w ; t_w – толщина гофрированной стенки; f – высота волны гофра; s – развернутая длина полуволны гофра $s = a_s(1 + \pi^2 f^2 / 16a_s^2)$.

Гофрированную стенку следует принимать с:

толщиной не менее чем 1,5 мм.

гибкостью гофрированных стенок в пределах $\lambda_w \leq 200...500$;

условной гибкостью панели гофра $\bar{\lambda}_c = s/t_w \sqrt{R_y/E} \leq 2,3$.

Параметры гофров следует принимать такими, чтобы были обеспечены условия, при которых $\tau_{p,cr} > \tau_{o,cr}$, где $\tau_{p,cr}$ и $\tau_{o,cr}$ согласно 20.6.3.8 и 20.6.3.9 соответственно.

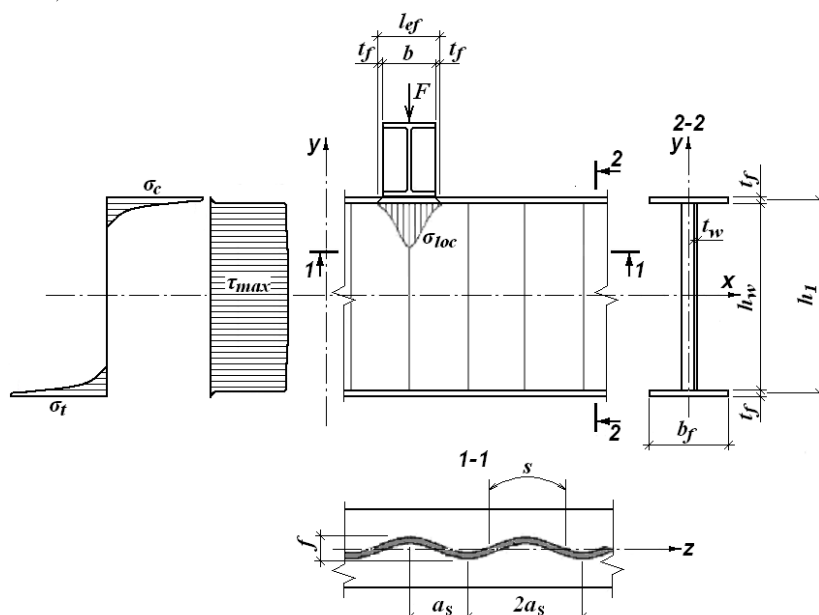


Рисунок 49 – Схема элемента с волнистой поперечно-гофрированной стенкой

20.6.1.2 В сварных двутаврах с гофрированными стенками следует применять односторонние поясные швы, за исключением мест приложения значительных сосредоточенных усилий или подвижных нагрузок.

20.6.2 Расчет двутавров с гофрированной стенкой при центральном растяжении и сжатии

20.6.2.1 Расчет на прочность элементов при центральном растяжении или сжатии следует выполнять по формуле (5) СП 16.13330, принимая за A_n площадь нетто двух поясов двутавра с гофрированной стенкой $A_n = A_{f1n} + A_{f2n}$.

20.6.2.2 Расчет на устойчивость элементов при центральном сжатии следует выполнять по формуле (7) СП 16.13330, принимая за A площадь брутто двух поясов двутавра с гофрированной стенкой $A = A_{f1} + A_{f2}$.

20.6.3.3 При проверке прочности гофрированной стенки должно выполняться требование по формуле (44) СП 16.13330, в которой σ_x следует определять по формуле:

$$\sigma_x = \sigma_f \cdot \frac{a_s}{s} \cdot k_s. \quad (181)$$

где коэффициент $k_s = 1 - \pi^2 f^2 / 16 a_s^2$; здесь σ_f – нормальные напряжения в соответствующем поясе. Напряжения σ_{loc} и τ_{xy} в формуле (44) СП 16.13330 следует определять

в одной и той же точке балки.

20.6.3.4 При расчете на устойчивость балок двутаврового сечения с гофрированными стенками, изгибающихся в плоскости стенки и удовлетворяющих условиям 20.6.3.1 и 20.6.3.3, следует выполнять проверку на устойчивость сжатых поясов по формуле:

$$\frac{N_f}{\varphi_f A_f R_y \gamma_c} \leq 1, \quad (182)$$

где A_f – площадь брута сжатого пояса; φ_f – коэффициент, который определяется по 7.1.3 СП 16.13330, как для центрально-сжатого стержня, в зависимости от $\lambda = l_{ef} / i_f$; здесь l_{ef} определяется по 8.4.2 СП 16.13330, а i_f – радиус инерции сечения сжатого пояса в горизонтальной плоскости.

Для сжатого пояса, выполненного из листовой стали, радиус инерции сечения вычисляется по формуле $i_f = 0,29 b_f$; $N_f = M_I / h_I$ – сила сжатия в поясе, где M_I – максимальный изгибающий момент в средней трети длины балки между точками раскрепления.

Устойчивость балок с гофрированной стенкой не нужно проверять, если выполняются условия в соответствии с 8.4.4 СП 16.13330, как для балок с плоской стенкой. При определении коэффициента μ в соответствии с 8.4.4 СП 16.13330 и при расчете условной поперечной силы N в соответствии с 8.4.5 СП 16.13330 прилегающие участки стенок к сжатому поясу учитывать не следует.

20.6.3.5 При изгибе балок с гофрированными стенками в двух главных плоскостях расчет на устойчивость сжатого пояса следует выполнять по формуле:

$$\frac{N_f}{\varphi_e A_f R_y \gamma_c} \leq 1, \quad (183)$$

где φ_e – коэффициент, который определяется в соответствии с таблицей Д.3 СП 16.13330, как для внецентренно сжатого стержня, в зависимости от условной гибкости сжатого пояса $\bar{\lambda} = (l_p / 0,29 b_f) \sqrt{R_y / E}$ (здесь l_p – расчетная длина пояса в его плоскости) и приведенного относительного эксцентриситета $m_{ef} = \eta \cdot m$, где $\eta = 1$ – коэффициент влияния формы сечения;

$$m = \frac{6 \cdot M_y}{N_f \cdot b_f}. \quad (184)$$

20.6.3.6 Устойчивость стенок балок с гофрированной стенкой следует считать обеспеченной, если выполнено условие:

$$\frac{1}{\gamma_c} \sqrt{\left(\frac{\sigma_{loc}}{\sigma_{loc,cr}} \right)^2 + \left(\frac{\tau_{xy}}{\tau_{cr}} \right)^2} \leq 1. \quad (185)$$

где σ_{loc} – местное напряжение в стенке от сосредоточенной нагрузки, которое следует определять в соответствии с 8.2.2 СП 16.13330; $\sigma_{loc,cr}$ – критическое напряжение, рассчитывающееся по формуле:

$$\sigma_{loc,cr} = \frac{0,8 c_I R_y}{\bar{\lambda}_c^2}, \quad (186)$$

20.7 Балки крановых путей

20.7.1 Стенки сварных балок крановых путей, находящихся в особо тяжелых условиях работы, следует рассчитывать на усталость согласно разделу 12 СП 16.13330. Примерный перечень производственных зданий, в которых балки крановых путей должны рассчитываться на усталость, приведен в таблице 57.

Таблица 57

Здания	Заводы
Дворы изложниц	Металлургические
Шихтовые дворы	То же
Отделения раздевания слитков	"
Скрапо-разделочные базы; копровые и шлаковые отделения; отделения огневой резки	"
Склады чугуна и слитков	"
Здания очистки и смазки изложниц	"
Пролеты складов заготовок; отделочные пролеты и пролеты складов готового проката	"
Здания нагревательных колодцев	"
Здания (пролеты или производства), в которых эксплуатируются краны групп режимов работы 7К (в цехах металлургических производств) и 8К по стандарту режимов работы грузоподъемных кранов (см. СП 20.13330)	Любые

Расчет на усталость выполняется на действие от нормативных нагрузок одного крана.

20.7.2 Расчетными сечениями при расчете балок крановых путей на усталость являются:

для разрезных балок – сечение, отстоящее на расстояние $0,2 a + 0,35l_{ef}$ от ближайшего к середине пролета поперечного ребра жесткости (в направлении к середине пролета);

для неразрезных балок – сечение, отстоящее от опорного ребра жесткости на расстояние $0,2 a + 0,35l_{ef}$, где a – шаг ребер; l_{ef} - условная длина, на которую распределяется давление колеса крана (см. СП 16.13330).

20.7.3 Расчет на усталость выполняется для верхней зоны стенки в месте примыкания ее к верхнему поясу балки. В этом месте стенка находится в условиях сложного напряженного состояния, определяемого воздействием косого изгиба, стесненного кручения и местными воздействиями сосредоточенных сил и моментов.

Причиной усталостных повреждений верхних зон балок крановых путей являются многократные сдвиги, обусловливаемые максимальными касательными напряжениями от совместного действия поперечного изгиба, местного смятия и кручения $\max \sum \tau_{12}$.

20.7.4 Величина $\max \sum \tau_{12}$ с достаточной степенью точности определяется суммированием максимальных касательных напряжений поперечного изгиба $0,5\sqrt{\sigma_x^2 + 4(k\tau_{xy})^2}$, местного смятия $0,4 \sigma_{loc,y}$ и кручения $0,5 \sigma_{fy}$. В двух последних случаях для упрощения расчета значения максимальных касательных напряжений определены через нормальные напряжения, которые вычисляются по СП 16.13330.

Суммированием приведенных величин при $k = 0,3$ (k – учитывает плавность изменения эпюры касательных напряжений в расчетном сечении) получена формула (173) СП 16.13330.

Zulässige Belastung q [kN/m] für Wellstegträger

Einfeldträger

Durchbiegungsbeschränkung (unter Berücksichtigung der Schubverformung des Steges)

L / 300

WTA 750

Gurtquerschnitt b x h mm mm	Träger- gewicht kg/m	Stützweite in m						zul.q kN/m	zul.q kN/m	zul.q kN/m	zul.q kN/m	zul.q kN/m
		8,0	10,0	12,0	14,0	16,0	18,0					
200 x 12	51,8	33,2	25,1	17,4	12,8	8,7	6,2					
220 x 12	55,6	33,2	26,6	19,2	13,9	9,5	6,7					
250 x 12	61,2	33,2	26,6	21,8	15,7	10,7	7,6					
300 x 12	70,7	33,2	26,6	22,2	18,5	12,7	9,1					
220 x 15	65,9	33,2	26,6	22,2	17,2	11,8	8,4					
250 x 15	73,0	33,2	26,6	22,2	19,0	13,3	9,5					
300 x 15	84,8	33,2	26,6	22,2	19,0	15,7	11,2					
350 x 15	96,6	33,2	26,6	22,2	19,0	16,6	12,9					
250 x 20	92,6	33,2	26,6	22,2	19,0	16,6	12,5					
300 x 20	108,3	33,2	26,6	22,2	19,0	16,6	14,8					
350 x 20	124,0	33,2	26,6	22,2	19,0	16,6	14,8					
400 x 20	139,7	33,2	26,6	22,2	19,0	16,6	14,8					
300 x 25	131,9	33,2	26,6	22,2	19,0	16,6	14,8					
350 x 25	151,5	33,2	26,6	22,2	19,0	16,6	14,8					
400 x 25	171,1	33,2	26,6	22,2	19,0	16,6	14,8					
300 x 30	155,4	33,2	26,6	22,2	19,0	16,6	14,8					
350 x 30	179,0	33,2	26,6	22,2	19,0	16,6	14,8					
400 x 30	202,5	33,2	26,6	22,2	19,0	16,6	14,8					

$\gamma = 1,4$

Zulässige Belastung q [kN/m] für Wellsteigräger

Einfeldträger

Durchbiegungsbeschränkung (unter Berücksichtigung der Schubverformung des Steges)

WTB - 750

L / 300

$\gamma = 1,4$

Gurtquerschnitt b x h mm mm	Träger- gewicht kg/m	Stützweite in m						
		8,0	10,0	12,0	14,0	16,0	18,0	20,0
		zul.q kN/m	zul.q kN/m	zul.q kN/m	zul.q kN/m	zul.q kN/m	zul.q kN/m	zul.q kN/m
200 x 12	55,3	39,2	25,1	17,4	12,8	8,8	6,2	4,0
220 x 12	59,1	41,6	27,6	19,2	14,1	9,6	6,8	
250 x 12	64,8	41,6	31,4	21,8	15,9	10,8	7,7	
300 x 12	74,2	41,6	33,2	26,1	18,9	12,9	9,2	
220 x 15	69,5	41,6	33,2	24,0	17,6	12,0	8,5	
250 x 15	76,5	41,6	33,2	27,3	19,7	13,5	9,6	
300 x 15	88,3	41,6	33,2	27,7	23,3	16,0	11,4	
350 x 15	100,1	41,6	33,2	27,7	23,7	18,4	13,2	
250 x 20	96,2	41,6	33,2	27,7	23,7	17,8	12,7	
300 x 20	111,9	41,6	33,2	27,7	23,7	20,8	15,1	
350 x 20	127,6	41,6	33,2	27,7	23,7	20,8	17,4	
400 x 20	143,3	41,6	33,2	27,7	23,7	20,8	18,5	
300 x 25	135,4	41,6	33,2	27,7	23,7	20,8	18,5	
350 x 25	155,0	41,6	33,2	27,7	23,7	20,8	18,5	
400 x 25	174,7	41,6	33,2	27,7	23,7	20,8	18,5	
300 x 30	159,0	41,6	33,2	27,7	23,7	20,8	18,5	
350 x 30	182,5	41,6	33,2	27,7	23,7	20,8	18,5	
400 x 30	206,1	41,6	33,2	27,7	23,7	20,8	18,5	

Zulässige Belastung q [kN/m] für Wellsteigträger

Einfeldträger

Durchbiegungsbeschränkung (unter Berücksichtigung der Schubverformung des Steges)

L / 300

$\gamma = 1,4$

WTB 1250

Gurtquerschnitt b x h mm mm	Träger- gewicht kg/m	Stützweite in m		zul.q kN/m						
		12,5	15,0							
220 x 12	70,9	29,2	20,3	14,9	11,4	9,0	7,0	5,3		
250 x 12	76,5	33,2	23,1	17,0	13,0	10,3	7,9	6,0		
300 x 12	86,0	39,9	27,7	20,3	15,6	12,3	9,5	7,2		
220 x 15	81,2	36,6	25,4	18,7	14,3	11,3	8,7	6,6		
250 x 15	88,3	41,6	28,9	21,2	16,3	12,9	9,9	7,5		
300 x 15	100,1	44,3	34,7	25,5	19,5	15,4	11,7	8,9		
350 x 15	111,9	44,3	36,9	29,7	22,8	18,0	13,6	10,3		
250 x 20	107,9	44,3	36,9	28,4	21,8	17,2	13,1	9,9		
300 x 20	123,6	44,3	36,9	31,7	26,1	20,6	15,5	11,8		
350 x 20	139,3	44,3	36,9	31,7	27,7	24,1	17,9	13,6		
400 x 20	155,0	44,3	36,9	31,7	27,7	24,6	20,2	15,4		
300 x 25	147,2	44,3	36,9	31,7	27,7	24,6	19,2	14,6		
350 x 25	166,8	44,3	36,9	31,7	27,7	24,6	22,1	16,9		
400 x 25	186,4	44,3	36,9	31,7	27,7	24,6	22,2	19,1		
430 x 25	198,2	44,3	36,9	31,7	27,7	24,6	22,2	20,2		
300 x 30	170,7	44,3	36,9	31,7	27,7	24,6	22,2	17,4		
350 x 30	194,3	44,3	36,9	31,7	27,7	24,6	22,2	20,1		
400 x 30	217,8	44,3	36,9	31,7	27,7	24,6	22,2	20,2		
430 x 30	232,0	44,3	36,9	31,7	27,7	24,6	22,2	20,2		

Zulässige Belastung q [kN/m] für Wellstegträger

Einfeldträger

Durchbiegungsbeschränkung (unter Berücksichtigung der Schubverformung des Steges)

L / 300

$\gamma = 1,4$

WTC 1250

Gurtquerschnitt b x h mm mm		Stützweite in m 12,5 15,0 17,5 20,0 22,5 25,0 27,5 30,0 32,5							
Träger- gewicht kg/m	zul.q kN/m	zul.q kN/m	zul.q kN/m	zul.q kN/m	zul.q kN/m	zul.q kN/m	zul.q kN/m	zul.q kN/m	
220 x 12	76,8	29,2	20,3	14,9	11,4	9,0	7,0	5,3	
250 x 12	82,4	33,2	23,1	17,0	13,0	10,3	8,0	6,0	
300 x 12	91,8	39,9	27,7	20,3	15,6	12,3	9,5	7,2	
220 x 15	87,1	36,6	25,4	18,7	14,3	11,3	8,8	6,6	
250 x 15	94,2	41,6	28,9	21,2	16,3	12,9	9,9	7,5	
300 x 15	106,0	50,0	34,7	25,5	19,5	15,4	11,8	9,0	
350 x 15	117,8	53,2	40,5	29,7	22,8	18,0	13,7	10,4	
250 x 20	113,8	53,2	38,7	28,4	21,8	17,2	13,2	10,0	
300 x 20	129,5	53,2	44,3	34,1	26,1	20,6	15,7	11,9	
350 x 20	145,2	53,2	44,3	38,0	30,5	24,1	18,1	13,8	
400 x 20	160,9	53,2	44,3	38,0	33,2	27,5	20,5	15,6	
300 x 25	153,1	53,2	44,3	38,0	32,8	25,9	19,5	14,8	
350 x 25	172,7	53,2	44,3	38,0	33,2	29,6	22,5	17,1	
400 x 25	192,3	53,2	44,3	38,0	33,2	29,6	25,4	19,4	
430 x 25	204,1	53,2	44,3	38,0	33,2	29,6	26,6	20,7	
300 x 30	176,6	53,2	44,3	38,0	33,2	29,6	23,2	17,7	
350 x 30	200,2	53,2	44,3	38,0	33,2	29,6	26,6	20,4	
400 x 30	223,7	53,2	44,3	38,0	33,2	29,6	26,6	18,0	
430 x 30	237,9	53,2	44,3	38,0	33,2	29,6	26,6	19,3	

Zulässige Belastung q [kN/m] für Wellsteigräger

Einfeldträger

Durchbiegungsbeschränkung (unter Berücksichtigung der Schubverformung des Steges)

L / 300

WTB 1500

Gurtquerschnitt b x h mm mm	Träger- gewicht kg/m	Stützweite in m 15,0	zul.q kN/m						
220 x 12	76,8	24,3	17,9	13,7	10,8	8,8	7,2	5,9	5,0
250 x 12	82,4	27,6	20,3	15,6	12,3	10,0	8,2	6,6	5,2
300 x 12	91,8	33,2	24,4	18,7	14,7	11,9	9,9	7,9	6,3
220 x 15	87,1	30,5	22,4	17,1	13,5	11,0	9,1	7,3	5,8
250 x 15	94,2	34,6	25,4	19,5	15,4	12,5	10,3	8,3	6,5
300 x 15	106,0	41,6	30,5	23,4	18,5	15,0	12,4	9,8	7,8
350 x 15	117,8	44,3	35,6	27,3	21,5	17,5	14,4	11,4	9,0
250 x 20	113,8	44,3	34,0	26,1	20,6	16,7	13,8	10,9	8,7
300 x 20	129,5	44,3	38,0	31,3	24,7	20,0	16,5	13,0	10,3
350 x 20	145,2	44,3	38,0	33,2	28,8	23,3	19,3	15,0	11,9
400 x 20	160,9	44,3	38,0	33,2	29,6	26,6	21,8	17,0	13,5
300 x 25	153,1	44,3	38,0	33,2	29,6	25,1	20,7	16,1	12,8
350 x 25	172,7	44,3	38,0	33,2	29,6	26,6	23,8	18,6	14,8
400 x 25	192,3	44,3	38,0	33,2	29,6	26,6	24,2	21,0	16,8
430 x 25	204,1	44,3	38,0	33,2	29,6	26,6	24,2	22,2	17,9
300 x 30	176,6	44,3	38,0	33,2	29,6	26,6	24,2	19,2	15,3
350 x 30	200,2	44,3	38,0	33,2	29,6	26,6	24,2	22,1	17,6
400 x 30	223,7	44,3	38,0	33,2	29,6	26,6	24,2	22,2	19,9
430 x 30	237,9	44,3	38,0	33,2	29,6	26,6	24,2	22,2	20,5

$\gamma = 1,4$

Zulässige Belastung q [kN/m] für Wellsteigträger

Einfeldträger

Durchbiegungsbeschränkung (unter Berücksichtigung der Schubverformung des Steges)

L / 300

WTC 1500

Gurtquerschnitt b x h mm mm	Träger- gewicht kg/m	Stützweite in m			zul.q kN/m	zul.q kN/m	zul.q kN/m	zul.q kN/m	zul.q kN/m	zul.q kN/m
		15,0	17,5	20,0						
220 x 12	83,8	24,3	17,9	13,7	10,8	8,8	7,2	5,9	5,3	5,0
250 x 12	89,5	27,6	20,3	15,6	12,3	10,0	8,2	6,7	6,3	5,0
300 x 12	98,9	33,2	24,4	18,7	14,7	11,9	9,9	8,0	7,8	6,3
220 x 15	94,2	30,5	22,4	17,1	13,5	11,0	9,1	7,3	5,8	5,3
250 x 15	101,3	34,6	25,4	19,5	15,4	12,5	10,3	8,3	6,6	5,3
300 x 15	113,0	41,6	30,5	23,4	18,5	15,0	12,4	9,9	7,8	6,3
350 x 15	124,8	48,5	35,6	27,3	21,5	17,5	14,4	11,5	9,1	7,3
250 x 20	120,9	46,3	34,0	26,1	20,6	16,7	13,8	11,0	8,7	7,0
300 x 20	136,6	53,2	40,8	31,3	24,7	20,0	16,5	13,1	10,4	8,4
350 x 20	152,3	53,2	45,6	36,5	28,8	23,3	19,3	15,2	12,1	9,7
400 x 20	168,0	53,2	45,6	39,9	32,9	26,7	22,1	17,2	13,7	11,0
300 x 25	160,1	53,2	45,6	39,2	31,0	25,1	20,7	16,3	13,0	10,4
350 x 25	179,8	53,2	45,6	39,9	35,5	29,3	24,2	18,9	15,0	12,1
400 x 25	199,4	53,2	45,6	39,9	35,5	31,9	27,3	21,3	17,0	13,7
430 x 25	211,2	53,2	45,6	39,9	35,5	31,9	29,0	22,8	18,2	14,7
300 x 30	183,7	53,2	45,6	39,9	35,5	30,2	24,9	19,5	15,5	12,5
350 x 30	207,2	53,2	45,6	39,9	35,5	31,9	28,7	22,5	17,9	14,5
400 x 30	230,8	53,2	45,6	39,9	35,5	31,9	29,0	25,4	20,2	16,4
430 x 30	244,9	53,2	45,6	39,9	35,5	31,9	29,0	26,6	21,6	17,5

$\gamma = 1,4$

Weight comparison of SIN beam frames with various span

Note: This comparison is eligible for the weight assumption of price offers. An additional static calculation is necessary before the erection of building.

Snow load: 150 kg/m²

Basic wind pressure: 50 kg/m²

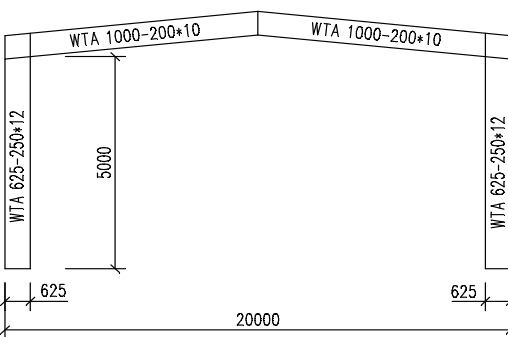
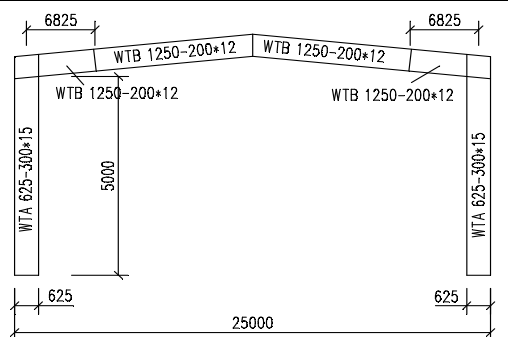
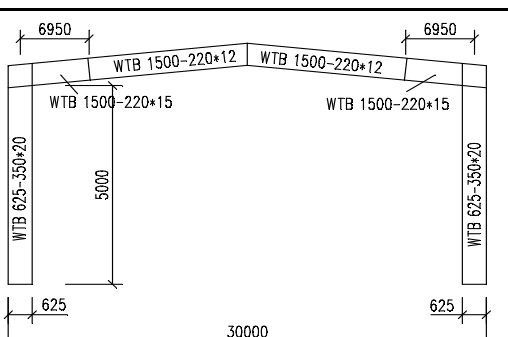
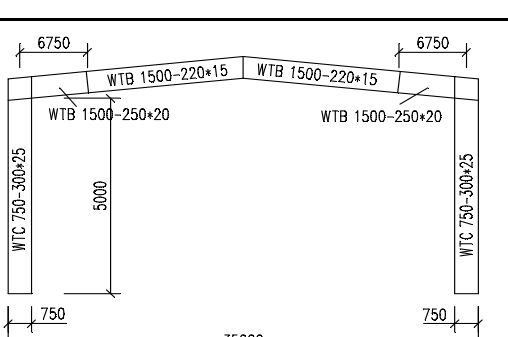
Earthquake load: 20% of dead load

Dead load roof cladding and roof purlins: 35 kg/m²

Dead load wall cladding and wall purlins: 20 kg/m²

Frame distance: 6,00m

Span [m]	Weight per frame [kg]	Figure
12,0	1057	
15,0	1251	
18,0	1531	

Span [m]	Weight per frame [kg]	Figure
20,0	1784	
25,0	2757	
30,0	4036	
35,0	5328	

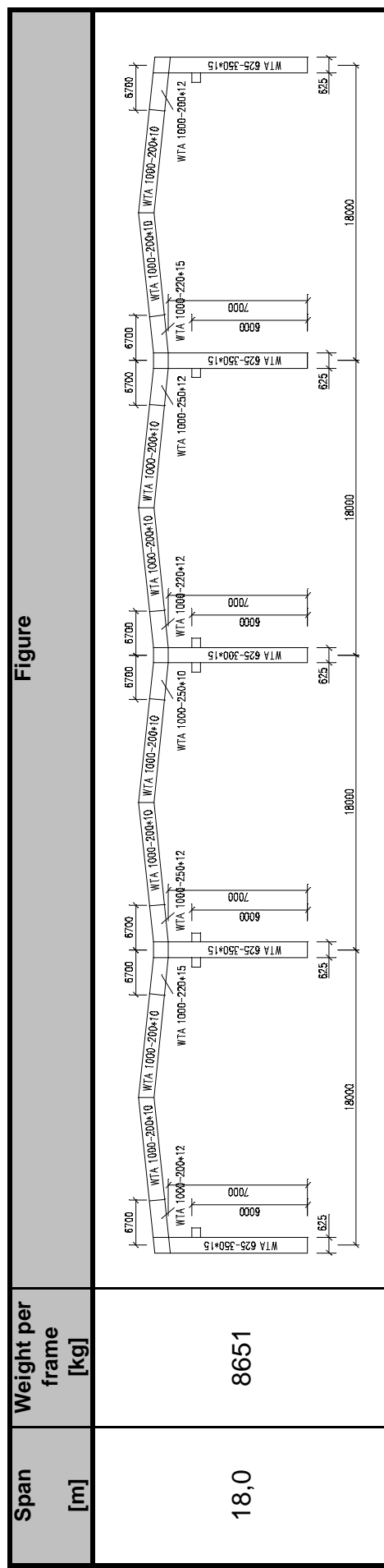
Weight comparison of SIN beam frames with various span

Note: This comparison is eligible for the weight assumption of price offers. An additional static calculation is necessary before the erection of building.

Snow load: 150 kg/m²
 Basic wind pressure: 50 kg/m²
 Earthquake load: 20% of dead load
 Dead load roof cladding and roof purlins: 35 kg/m²
 Dead load wall cladding and wall purlins: 20 kg/m²
 Crane load: 2 * 12t
 Frame distance: 6,00m

Span [m]	Weight per frame [kg]
18,0	8651

Figure



Промышленные здания



Большие безопорные пролеты



Архитектурные металлоконструкции



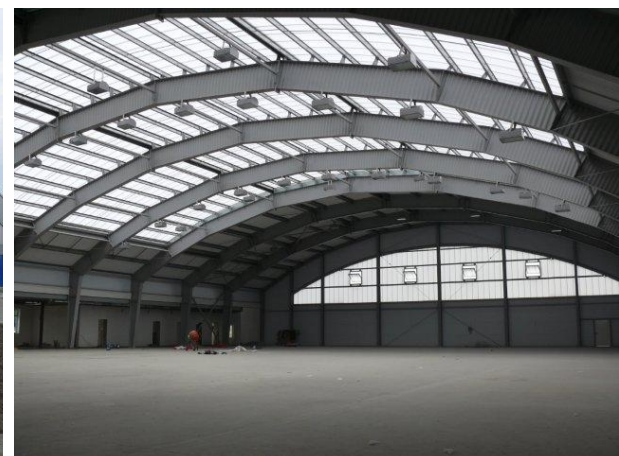
Торговые объекты



Склады, овощехранилища и фруктохранилища



Спортивные проекты



Международный холдинг Zeman и имеет более 50 лет опыта в проектировании, изготовлении и монтаже металлоконструкций.

ПРОЕКТИРОВАНИЕ И ИНЖИНИРИНГ:

ПЕМ имеет 10 проектно-инжиниринговых офисов в разных странах, где работают более 500 дипломированных инженеров, что позволяет реализовывать проекты максимальной сложности.



ПОСТАВКА МЕТАЛЛОКОНСТРУКЦИЙ:

Три собственных завода металлоконструкций (в Австрии, Польше и Турции), а также развитая сеть кооперации с клиентами, купившими оборудование Zeman, позволяют выполнять поставки по всему миру в сжатые сроки и по оптимальным ценам.



ИЗГОТОВЛЕНИЕ ОБОРУДОВАНИЯ:

Суммируя этот опыт, машиностроительное подразделение группы Zeman обладает достаточным опытом и необходимыми специалистами для реализации современного производства металлоконструкций, а также поставок уникального оборудования.



Представительство Zeman Bauelemente GmbH в России

+7 499 703 37 80

msk@zebau.com

www.zebau.ru